

INTRODUÇÃO AOS MÉTODOS COMPUTACIONAIS EM BIOMEDICINA

3^o ANO | LEBIOM

Relatório do trabalho nº 2

Realizado por:

Ana Rita Damas Mendes (99641)
Inês Pereira Marques (99674)
Sofia Silvestre de Oliveira (99715)

ritadmendes@tecnico.ulisboa.pt
ines.p.marques@tecnico.ulisboa.pt
sofia.de.oliveira@tecnico.ulisboa.pt

Grupo 4

2022/2023 - 1^o Semestre, P2

Conteúdo

1	Objetivo	2
2	Introdução Teórica	2
3	Resultados	3
3.1	Caso A,B e C	3
3.2	Caso D : Descida de um paraquedista	4
4	Erro numérico	6
	Appendices	9
A	Programas Principais	9
B	Plots dos gráficos	10

1 Objetivo

Este projeto pretende resolver Equação Diferencial Ordinária(EDO's) de primeira ordem empregando o Método de Runge-Kutta de terceira ordem (RK3). Iremos testar o nosso programa para os casos específicos dados pelo enunciado incluindo uma descida de pára-quedas. Adicionalmente, faremos uma análise do erro do método numérico variando o 'step'. A ideia básica deste método é aproveitar as qualidades dos métodos da série de Taylor e ao mesmo tempo eliminar o seu maior defeito que é o cálculo de derivadas de $f(x, y)$ que torna os métodos de série de Taylor computacionalmente ineficientes.

2 Introdução Teórica

Uma EDO é uma equação diferencial em que a função desconhecida depende apenas de uma variável independente e a sua ordem corresponde à maior ordem das derivadas que a constituem. No nosso caso apenas trabalharemos com EDO's de primeira ordem ($y' = f(x, y)$). Estamos perante uma equação diferencial com condição inicial quando se define um ponto (x_0, y_0) , com $y(x_0) = y_0$, num intervalo $[a, b]$ contendo x_0 . Os Métodos Runge-Kutta são variantes obtidos por meio da expansão da série de Taylor com o resto de Lagrange mas que evitam o cálculo de derivadas de ordem superiores a 1 e procuram substituir as derivadas parciais por outras avaliações pontuais em f . A função $f(x)$ pode ser expandida numa série de Taylor na vizinhança de um ponto x da seguinte forma:

$$f(x) = \sum_{k=0}^{\infty} \frac{f^{(k)}(a)}{k!} (x-a)^k = f(a) + f'(a) \frac{x-a}{1!} + \dots + f^{(k)}(a) \frac{(x-a)^k}{k!}. \quad (1)$$

Para x qualquer, existe um ponto b pertencente ao intervalo $[a, x]$ que corresponde ao valor exato do erro da aproximação que será feita, segundo a fórmula do Resto de Lagrange:

$$R_k(a, x) = f^{(k+1)}(b) \frac{x-a^{(k+1)}}{(k+1)!} \quad (2)$$

Através do desenvolvimento de Taylor com resto de lagrange até $k=3$, substituindo em $f(x) + R_k(a, x)$ a por x_n e x por $x_{n+1} = x_n + h (= \text{step})$ chegamos à seguinte equação:

$$y_{(x_{n+1})} = y(x_n) + hy'(x_n) + \frac{h^2}{2!} y''(x_n) + \frac{h^3}{3!} y'''(x_n) + \frac{h^4}{4!} y''''(c) \quad (3)$$

O valor da derivada a usar para aproximar a função no ponto $i+1$, é uma média ponderada dos três valores encontrados, sendo que se atribui mais peso ao valor intermédio, i.e. K_2 , pela fórmula corretora de Milne. Esta é uma variação do método RK3 tradicional que inclui um termo de correção para melhorar a precisão da solução.

$$y_{i+1} = y_i + h(ak_1 + bk_2 + ck_3) \quad (4)$$

onde $a=1$, $b=4$ e $c=1$. Nesse caso,

$$k_1 = f(x_i, y_i) \quad k_2 = f(x_i + ph, y_i + phk_1) \quad k_3 = f(x_i + rh, y_i + shk_2 + (r-s)hk_1) \quad (5)$$

onde k_1, k_2 e k_3 são aproximações das derivadas em vários pontos no intervalo de integração $[x_i, x_{i+1}]$. Para determinar as constantes a, b, c, p, r e s , expandem-se k_2 e k_3 em Taylor, em torno de (x_i, y_i) e obtêm-se as seguintes equações:

$$a + b + c = 1 \quad bp + cr = \frac{1}{2} \quad bp^2 + cr^2 = \frac{1}{2} \quad cps = \frac{1}{6} \quad (6)$$

Duas das constantes são escolhidas arbitrariamente. Para um determinado conjunto de constantes escolhido por Kutta, tem-se o seguinte método de 3^a ordem (que equivale à Regra de Simpson se $\frac{dy}{dx} = f(x)$).

$$y_{i+1} = y_i + \frac{h}{6}(k_1 + 4k_2 + k_3) \quad (7)$$

$$k_1 = f(x_i, y_i) \quad k_2 = f\left(x_i + \frac{h}{2}, y_i + \frac{h}{2}k_1\right) \quad k_3 = f(x_i + h, y_i + 2hk_2 - hk_1) \quad (8)$$

Assim, teoricamente, o método RK3 usado apresenta um erro local dado pelo resto de Lagrange $\frac{h^4}{(4)!}y''''(b)$, logo é de ordem $O(h^4)$, e portanto o erro máximo, que é fruto da acumulação dos erros locais apresentará ordem $O(h^3)$.

3 Resultados

3.1 Caso A,B e C

Caso A: $y' = t - y$, $y(0) = 2$, $t \in (0, 4]$;

Solução da equação diferencial: $y(t) = 3e^{-t} + t - 1$

Caso B: $y' = 20t^2 - 20y + 2t$ $y(0) = 1$, $t(0, 1]$;

Solução da equação diferencial: $y(t) = t^2 + e^{-20t}$

Caso C: $y' = (2e^{-t} - 1)y$, $y(0) = 1$, $t(0, 10]$;

Solução da equação diferencial: $y(t) = e^{-t-2e^{-t}+2}$

A solução numérica de EDOs envolve dois tipos de erro:

1. Erros de truncamento: causados pela natureza das técnicas usadas para aproximar os valores de y . Os erros de truncamento são compostos por duas partes. O primeiro é um erro de truncamento local que resulta de uma aplicação do método em questão em uma única etapa. O segundo é um erro de truncamento propagado que resulta das aproximações produzidas durante as etapas anteriores. A soma dos dois é o erro global ou de truncamento global. [2]
2. Erros de arredondamento: causados pelo número limitado de dígitos significativos que podem ser retidos por um computador. [2]

Analisando os gráficos abaixo podemos verificar que diminuindo o h temos uma melhor aproximação à função exata, no entanto, mais tarde iremos verificar que não é tão linear assim.

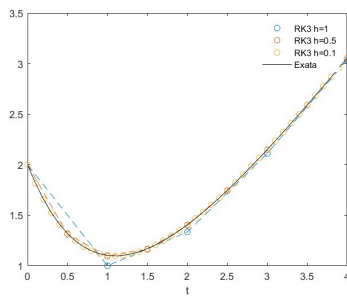


Figura 1: Caso 1

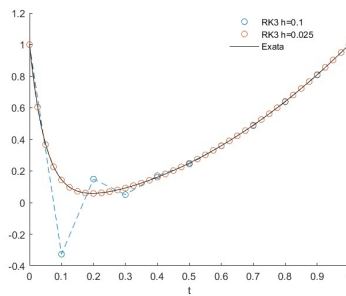


Figura 2: Caso 2

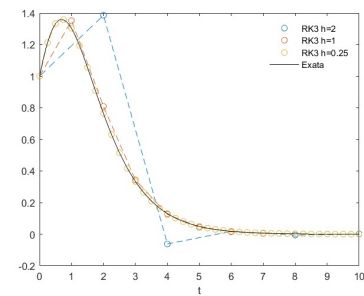


Figura 3: Caso 3

Em geral, a maneira que temos para minimizar os erros de aproximação será aumentar os algarismos significativos do computador, no entanto o MATLAB tem uma limitação de até 16 dígitos de precisão. Já em relação aos erros de truncamento, temos de reduzir o passo (h) para que este diminua. No entanto, quanto menor o passo, mais cálculos computacionais serão feitos pelo que erros de aproximação irão aumentar. Assim, encontramos um dilema: até que ponto a diminuição do passo é vantajoso? Temos de determinar um tamanho de passo apropriado para determinada computação. O desafio é identificar o ponto onde o erro de arredondamento começa a anular os benefícios da redução do tamanho do passo. [2] Iremos estudar este erro numérico mais à frente, onde vamos considerar o erro do truncamento do método utilizado, como o erro máximo ($\max(|y - y_{\text{Exact}}|)$).

3.2 Caso D : Descida de um paraquedista

A descida de um paraquedista pode ser descrita por uma equação diferencial e, por isso, podemos utilizar o método Runge-Kutta para realizar uma simulação do movimento do paraquedista em função do tempo. Tendo em conta que durante a descida atuam duas forças no conjunto pára-quedas+paraquedista, a força gravítica e a força da resistência do ar, conseguimos obter a força resultante a que o sistema está sujeito e, a partir da segunda lei de Newton, obter a equação diferencial pretendida. A fórmula da força da resistência do ar é

$$F_{RA} = \frac{1}{2} \rho c_d A v^2 \quad (9)$$

ρ - densidade do ar (aproximadamente 1.22 kg/m^3)

A - área do pára-quedas

c_d - coeficiente de arrasto (*drag coefficient*), depende da geometria e das propriedades materiais do pára-quedas bem como da sua aerodinâmica.

v - velocidade.

Dado que c_d e A variam conforme o pára-quedas está aberto ou fechado, a resultante de arrasto $C_d = \frac{1}{2} \rho c_d A$ toma dois valores distintos durante a descida, $C_d \approx 0.5$ até ao instante de abertura do pára-quedas e $C_d \approx 20$ depois da abertura, uma vez que a área de superfície sujeita à resistência do ar com o pára-quedas aberto é bastante superior. Logo, quando um corpo se desloca a uma velocidade elevada e se abre o pára-quedas, a força da resistência do ar será superior ao peso, e provocará a desaceleração do paraquedista.

Através da Segunda Lei de Newton, obteve-se a seguinte equação diferencial ordinária não linear que descreve a aceleração (i.e. a derivada da velocidade) de um paraquedista em descida:

$$\frac{dv}{dt} = -g + \frac{C_d}{m} \times v^2 \quad (10)$$

sendo g a aceleração gravítica (9.8 m s^{-2}), m a massa do conjunto paraquedista+pára-quedas e C_d constante de proporcionalidade que tem conta a resistência do ar, sendo diferente no caso do paraquedista em queda sem o pára-quedas ($c_d \approx 0.5$, $A \approx 1 \text{ m}^2$), e no caso do paraquedista com o mesmo ($c_d \approx 1.75$, $A \approx 19 \text{ m}^2$). [1] Ao resolver esta EDO com o método RK3, tendo em conta o intervalo $[0, 50]$ s, $g = 9.8 \text{ ms}^2$; $C_d = 0.5$; $C_{d2} = 20$; $m = 90 \text{ Kg}$ ($70 \text{ Kg} + 20 \text{ Kg}$ do pára-quedas); $t_0 = 0$ s ; $v(0) = 0 \text{ m/s}$; $t_{abertura} = 25$ s, observou-se a Fig.4.

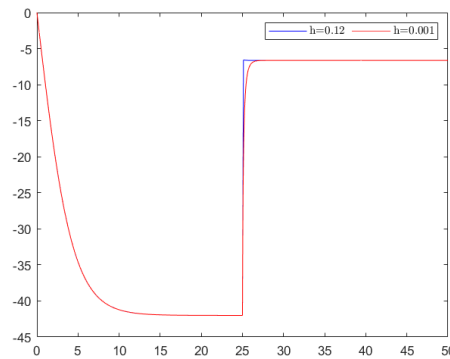


Figura 4: Evolução da velocidade de um paraquedista

Notou-se que para um h superior a 0.1 a desaceleração não descreve uma curva, pois é necessário um h inferior.

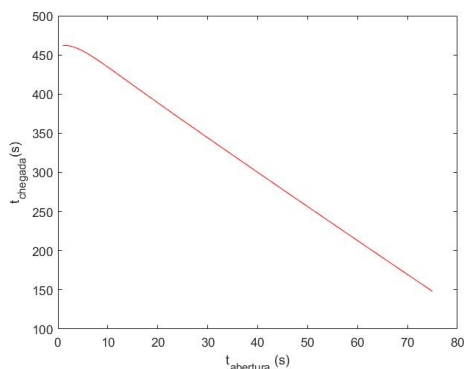
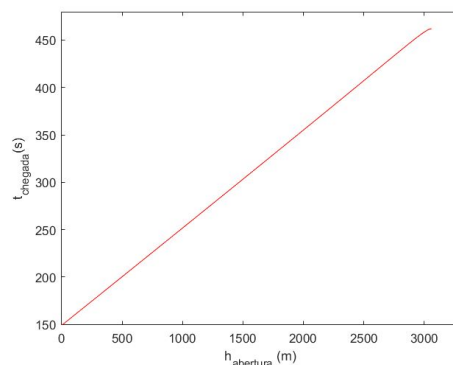
É possível observar um movimento acelerado do paraquedista, desde o seu lançamento (em $t=0$ s) até atingir a primeira velocidade terminal (em $t \approx 15$ s) de -42 m/s ¹. A partir dos 25 segundos, instante no qual abre o pára-quedas, constata-se um movimento desacelerado até atingir a segunda velocidade terminal (em $t \approx 30$ s) de -6.6408 m/s . Os parâmetros foram escolhidos de modo a traçar a descida de pára-quedas num contexto real. [3]

Para escolher o $t_{abertura}$ observou-se primeiramente o gráfico da equação com o pára-quedas fechado para conhecer a partir de que instante o sistema chegava à primeira velocidade terminal.

Tempo de chegada em função da altura e do instante de abertura do pára-quedas

Considerando os mesmos parâmetros utilizados na Fig.4 (à exceção de h , que se aumentou para 0.1 de forma a acelerar o processamento computacional), definimos um vetor com diferentes valores para $t_{abertura}$ ($1:h:75$) e uma altura inicial de lançamento $h_i = 3065 \text{ m}$. Utilizando 2 vezes consecutivas o método RK3, encontramos a função aproximada $y(t)$ ($((\frac{dv}{dt} \xrightarrow{RK3} \frac{dy}{dt} \xrightarrow{RK3} y(t)))$) e a partir desta obter o tempo de chegada. É de notar que se utilizou interpolação polinomial (*polyfit* de grau 2) dos valores obtidos do método RK3 para que se pudesse usar o método uma segunda vez, e novamente para encontrar uma aproximação da equação do movimento $y(t)$ para antes e após a abertura do pára-quedas. Uma vez que as funções utilizadas para a

¹Considerou-se que o paraquedista se movia ao longo do eixo vertical y , na direção contrária a este.

Figura 5: $t_{chegada}$ em função de $t_{abertura}$ Figura 6: $t_{chegada}$ em função da $h_{abertura}$

obtenção dos gráficos abaixo são aproximadas, os valores apresentam um erro associado mas que não impede a visualização da relação entre as variáveis pretendidas.

Na Fig. 5, observa-se uma diminuição do tempo de chegada à medida que o instante de abertura do pára-quedas aumenta. Esta evolução está de acordo com o esperado pois quanto mais tempo o paraquedista estiver com a 1ª velocidade terminal (maior que a segunda), e por isso com um maior $t_{abertura}$, mais rápido este chega ao chão (i.e. menor o tempo de chegada).

Na Fig. 6, vemos que quanto maior a altura de abertura do pára-quedas, maior o tempo de chegada ao solo. Isto está de acordo com o previsto, uma vez que ao se abrir o pára-quedas a velocidade diminui bastante, pelo que quanto mais alto se abrir o paraquedas, mais tempo demorará a atingir o solo.

4 Erro numérico

Para aplicarmos o método de Runge-Kutta de ordem 3 é necessário ter em consideração a eficiência e precisão para encontrar um h ideal. No entanto, a simultaneidade de máxima eficiência e precisão são incompatíveis. Por isso, é necessário encontrar a região de estabilidade, que é alcançada quando o erro numérico causado pelo método é aceitável e não impede a obtenção de uma solução precisa.

No entanto, o valor do h ideal pode variar no decorrer de uma mesma função pois pode haver zonas da função em que esta não varia muito e outras em que varie abruptamente e seja necessário h mais pequeno para descrever a função. Existem várias formas de se avaliar a estabilidade num método de Runge-Kutta de ordem 3. Uma das formas é analisar o comportamento do erro numérico variando o valor de h . Quando o erro numérico é pequeno e não aumenta, diminuindo h , o método é considerado estável nesse intervalo de h . Para encontrarmos essa região foi utilizado o programa plotterpasso.m que nos indica o erro máximo para os diferentes h . (Considerámos a região de estabilidade aquela que o erro seria inferior a 10^{-14})

Na tabela abaixo, encontra-se as diferentes zonas de estabilidade para os diferentes casos:

Caso	Passo mínimo	Passo máximo
1	3.8147×10^{-6}	6.10352×10^{-5}
2	2.384×10^{-7}	3.8147×10^{-6}
3	4.7684×10^{-6}	7.62939×10^{-5}

Os seguintes gráficos mostram como evolui o erro com a diminuição do valor de h . Um erro mínimo é alcançado quando h é aproximadamente 10^{-6} . Além desse valor de h , o erro aumenta à medida que os erros arredondamentos dominam. É de notar que existe um limite computacional para o qual se pode diminuir o h (aproximadamente 10^{-8}).

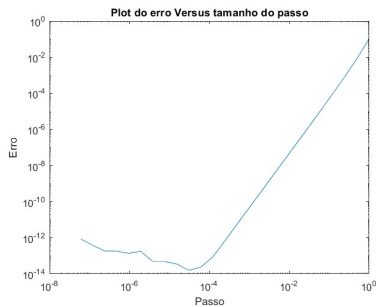


Figura 7: Caso 1

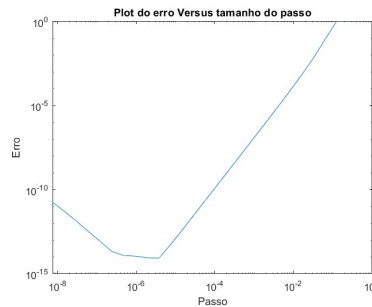


Figura 8: Caso 2

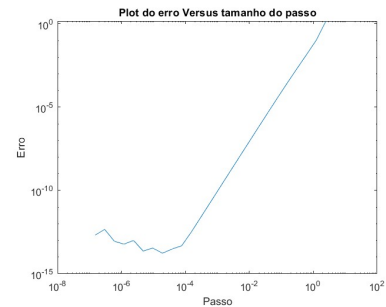


Figura 9: Caso 3

Através do estudo do comportamento assintótico das funções pode-se verificar qual é a ordem do método utilizado. Partindo da expressão matemática:

$$E = Ch^\alpha \quad (11)$$

sendo E o erro máximo do método numérico utilizado em relação à solução exata, C uma constante, h o tamanho do passo e α é a ordem do método usado. Se logartizarmos a expressão acima temos que:

$$\log E = \log C + \alpha \log h \quad (12)$$

Assim, foi utilizado a função *polyfit* para determinar os coeficientes do polinómio de primeiro grau que melhor interpola os valores de logaritmo de h e logaritmo de erro máximo. O declive dessa reta corresponde ao primeiro desses coeficientes. Foram utilizados os h no intervalo de $[\frac{b_{caso}}{8}, \frac{b_{caso}}{8 \times 2^{14}}]$. Sendo $b_{caso} = 4, 1, 10$, respetivamente.

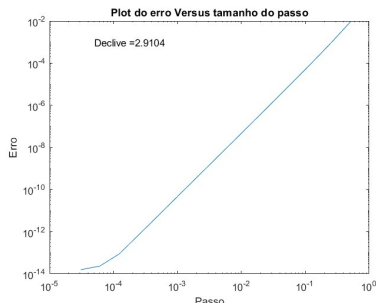


Figura 10: Caso 1

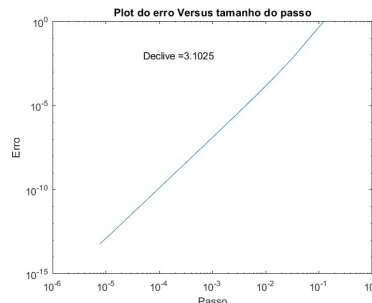


Figura 11: Caso 2

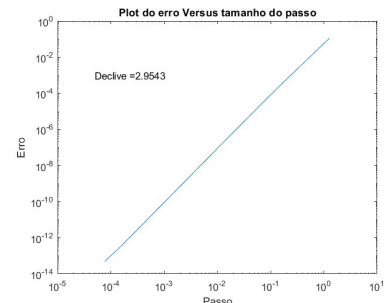


Figura 12: Caso 3

Observando os declives dos casos 1, 2 e 3 verificamos que o método de Runge-Kutta verifica o comportamento assintótico de 3ª ordem, que seria o esperado.

Referências

- [1] Tom Benson. Velocity during recovery.
- [2] Steven C. Chapra Raymond P. Canale. *Numerical Methods for Engineers*. McGraw-Hill,, 2010.
- [3] Ronald Phoebe and Cole Reilly. Differential equations and the parachute problem, 2004.

Appendices

A Programas Principais

RK3.m: Método Runge-Kutta de ordem 3 . Utilizador tem de dar:

1. f (EDO de primeira ordem)
2. t (intervalo $t = a:h:b$)
3. $y(0)$

```

1 %RK3
2 function y = RK3(f, t, y0)
3 n=length(t);
4 y=nan(length(y0),n);
5 y(:,1)=y0(:);
6 for k=1:n-1
7     h=t(k+1)-t(k);
8     F1=f(t(k),y(:,k));
9     F2=f(t(k)+h/2,y(:,k)+h*(F1)/2);
10    F3=f(t(k)+h,y(:,k)+h*(2*F2-F1));
11    y(:,k+1)=y(:,k)+h*(F1+4*F2+F3)/6; %corrigido
12 end
13 end

```

PlotErroPasso.m: Programa que devolve um gráfico $\log(\text{Erro máximo})$ vs $\log(\text{tamanho do passo})$. É possível visualizar no command window os valores h utilizados e o seu erro associado. Utilizador tem de dar:

1. f (EDO de primeira ordem)
2. a e b (intervalo de integração)
3. $y(0)$

É de salientar que a exata tem de ser alterada no código consoante a EDO escolhida. (linha 13)

```

1 %ERRO M XIMO VS TAMANHO DO PASSO
2 %mudar a exata consoante o caso
3 function PlotErroPasso(f,a,b,y0)
4 n=15; % MAXIMO POR VOLTA DOS 25
5 format long
6 H=zeros(1,n);
7 E=zeros(1,n);
8 h = b/8; %sempre 1/8 de B do caso
9 for i=1:n
10    H(i)=h;
11    t = a:h:b;
12    y =RK3(f, t, y0);
13    yExact = exp(-t-2.*exp(-t)+2); %colocar exata
14    E(i)=max(abs(y-yExact)); %erro maximo para o passo

```

```

15     h=h/2;% Iterativamente, dividindo por 2
16 end
17 L=[H' E']';
18 fprintf(' Passo Erro M ximo\n');
19 fprintf('%14.10f %16.13f\n',L);
20 loglog(H,E),xlabel('Passo'),ylabel('Erro') %grafico loglog
21 title('Plot do erro Versus tamanho do passo')
22 coef=polyfit(log(H),log(E),1);
23 declive=coef(1); %d o declive
24 declive_string = num2str(declive);
25 declive_grafico = strcat('Declive = ', declive_string);
26 text(0.00005, 0.001, declive_grafico); %imprime o declive no gr fico
27
28 end

```

B Plots dos gráficos

GráficoPlot.m: Utilizado para fazer os gráfico das figuras 1-3.

```

1 %Escolher Casos
2 %CAS01
3 f = @(t,y) t-y;
4 a=0;
5 b=4;
6 y0=2;
7 % y(t)=3*exp(-t)+t-1 %exata
8
9 %CAS02
10 %f = @(t,y) 20*t^2 - 20*y+2*t;
11 %a=0;
12 %b=1;
13 %y0=1;
14 %%exata y(t)=t^2 + exp(-20*t);
15
16 %CAS03
17 %f = @(t,y) (2*exp(-t) - 1)*y;
18 %b=10;
19 %y0=1;
20 %%exata y(t)=exp(-t-2*exp(-t)+2);
21
22 %%%%%%%%%%%%%%%%%%%%%%%%%%%%%%%%%%%%%%%%%%%%%%%%%%%%%%%%%%%%%%%%%%%%%%%%% plot
23 h = 1 ;
24 t = a:h:b;
25 y =RK3(f, t, y0);
26 plot(t, y, 'o--')
27 hold on
28 %%%%%%%%%%%%%%%%%%%%%%%%%%%%%%%%%%%%%%%%%%%%%%%%%%%%%%%%%%%%%%%%%%%%%%%%% plot
29 h2 = 0.5 ;
30 t2 = 0:h2:b;
31 y2 =RK3(f, t2, y0);
32 plot(t2, y2, 'o--')
33 hold on
34 %%%%%%%%%%%%%%%%%%%%%%%%%%%%%%%%%%%%%%%%%%%%%%%%%%%%%%%%%%%%%%%%%%%%%%%%%plot
35 h3 = 0.1 ;

```

```

36 t3 = 0:h3:b;
37 y3 =RK3(f, t3, y0);
38 plot(t3, y3, 'o--')
39 hold on
40 %%%%%%%%%%%%%%%%%%%%%%%%%%%%%%%%%%%%%%%%%%%%%%%%%%%%%%%%%%%%%%%%%%%%%%%%% fplot
41 yExact = @(t) 3*exp(-t)+t-1;
42 fplot(yExact,[0,b], 'k-')
43 xlabel('t')

```

parachute.m: Utilizado para fazer o gráfico da Fig. 4.

```

1 %Dados pelo utilizador
2 a=0;b=50;
3 cd=0.5;%Cd paraquedas fechado
4 cd2=20;%Cd2 paraquedas aberto
5 g=9.8;m=90;tabertura=25;v0=0;
6 func=@(t,y) (-g+((cd/m)*(y^2)));%equac paraquedas fechado
7 func2=@(t,y) (-g+((cd2/m)*(y^2)));%equac paraquedas aberto
8 vt1=-sqrt((g*m)/cd); %velocidade terminal 1
9
10
11 hs=[0.12,0.001];
12 for i = 1:length(hs)
13 h=hs(i);
14 t1=a:h:tabertura;
15 t2=tabertura:h:b;
16 v1=RK3(func,t1,v0); %solu o aproximada
17 v2=RK3(func2,t2,vt1); % solu o aproximada
18 plot(t1,v1,'-')
19 hold on
20 plot(t2,v2,'-')
21 hold on
22 end

```

tchegada.m: Utilizado para fazer o gráfico da Fig. 5 e 6.

```

1 %condi es iniciais
2 a=0;b=600;
3 hi=3065; %altura do lan amento
4 cd=0.5;cd2=20;
5 g=9.8;m=90;
6 vt1=-sqrt((g*m)/cd); %velocidade terminal 1
7 c=0;%velocidade inicial de lan amento
8
9 h=0.1;
10 func=@(t,y) (-g+(cd/m)*(y^2));
11 func2=@(t,y) (-g+(cd2/m)*(y^2));
12
13 tabertura=1:h:75;
14 tchegada=zeros(length(tabertura),1);
15 hfalta=zeros(length(tabertura),1);
16
17 for k=1:length(tabertura)
18 %antes de abertura
19 t1=a:h:tabertura(k);
20 v1=RK3(func,t1,c);
21 p1 = polyfit(t1,v1,2); %interpola o polinomial

```

```

22 fv1= @(t,y) p1(1)*t^2 +p1(2)*t +p1(3); %eq velocidade v(t)
23 y1=RK3(fv1,t1,hi);
24 p4=polyfit(t1,y1,2);
25 fy1= @(t,y) p4(1)*t^2 +p4(2)*t +p4(3); %eq posi o y(t)
26 hfalta(k)= fy1(tabertura(k)); %altura no instante que se abriu
27
28 % ap s abertura
29 t2=tabertura(k):h:b;
30 v2=RK3(func2,t2,vt1);
31 p2 = polyfit(t2,v2,2); %interpola o polinomial
32 fv2= @(t,y) p2(1)*t^2 +p2(2)*t +p2(3); %eq velocidade v(t)
33 y2=RK3(fv2,t2,hfalta(k));
34 p3 = polyfit(t2,y2,2);
35 fy2= @(t) p3(1)*t^2 +p3(2)*t +p3(3); %eq posi o y(t)
36 tchegada(k) = fzero(fy2,hfalta(k)) + abertura(k);
37 end
38 %plot(tabertura,tchegada,'r-')
39 plot(hfalta,tchegada,'r-')

```

GráficoErro.m: Utilizado para fazer os gráficos de 7-12.

```

1 %CAS01: exata y(t)=3.*exp(-t)+t-1
2 %f = @(t,y) t-y;
3 %a=0;
4 %b=4; %intervalo
5 %y0=2;
6
7 %CAS02: exata y(t)=t.^2 + exp(-20.*t);
8 %f = @(t,y) 20*t^2 - 20*y+2*t;
9 %a=0;
10 %b=1;
11 %y0=1;
12
13 %CAS03: exata y(t)=exp(-t-2.*exp(-t)+2);
14 f = @(t,y) (2*exp(-t) - 1)*y;
15 a=0;
16 b=10;
17 y0=1;
18
19 PlotErroPasso(f,a,b,y0)

```